

روند تغییرات صفات مورفوفیزیولوژیک ژنوتیپ‌های نخود (*Cicer arietinum* L.) در پاسخ به تنش شوری ناشی از کلریدسدیم

محمد عارفیان^{*}، سعیدرضا وصالی^۱، عبدالرضا باقری^۲ و علی گنجعلی^۳

^۱- دانش آموخته کارشناسی ارشد رشته بیوتکنولوژی کشاورزی دانشگاه فردوسی مشهد

^۲- عضو هیئت علمی پژوهشکده علوم گیاهی دانشگاه فردوسی مشهد

^۳- عضو هیئت علمی دانشکده کشاورزی و پژوهشکده علوم گیاهی دانشگاه فردوسی مشهد

^۴- عضو هیئت علمی دانشکده علوم و پژوهشکده علوم گیاهی دانشگاه فردوسی مشهد

تاریخ دریافت: ۱۳۹۱/۱۰/۰۹

تاریخ پذیرش: ۱۳۹۲/۰۶/۰۱

چکیده

شوری یکی از مهم‌ترین تنش‌های غیرزیستی در حال گسترش بوده که علاوه بر اثرات سیمی و تغذیه‌ای، توانایی گیاه برای جذب آب را کاهش می‌دهد. در مواجهه با تنش شوری، مجموعه‌ای از واکنش‌های مورفوفیزیولوژیک در گیاهان ایجاد می‌شود. عملکرد نخود به دلیل حساسیت بالا به این تنش و به دنبال برخی پاسخ‌های قابل توجه در خصوصیات فیزیولوژیک و مورفولوژیک، به شدت کاهش می‌یابد. در این تحقیق، پیامدهای غلظت‌های مختلف تنش شوری شامل صفر، ۸ و ۱۲ dS.m^{-۱} بر ویژگی‌های مورفوفیزیولوژیک ژنوتیپ‌های حساس و متحمل نخود در مراحل اولیه رشد نمونه گیاه به صورت آزمایش فاکتوریل در قالب طرح کاملاً تصادفی با سه تکرار و چهار نمونه برداری با فاصله زمانی یک هفته مورد بررسی قرار گرفت. بر اساس داده‌های حاصل، با افزایش غلظت کلریدسدیم و گذشت زمان (هفتاه چهارم)، ژنوتیپ‌های MCC760 و MCC806 به ترتیب از کمترین و بیشترین آسیب بر اساس شاخص‌های وزن خشک ریشه به وزن خشک اندام هوایی (۰/۸ و ۲ برابر کاهش) و وزن خشک ریشه (۱/۷ و ۴ برابر کاهش) برخوردار بودند. در شدت بالای تنش (۱۲ dS.m^{-۱})، ژنوتیپ MCC760 نه تنها مقدار رنگدانه‌های فتوسنتزی (شامل کلروفیل‌های a و b و کارتونوئیدها) بیشتری داشت، بلکه شدت کاهش رنگدانه‌های این ژنوتیپ، کمتر و در مقابل، ضریب پایداری کلروفیل آن (۷۵٪ درصد) به صورت معنی‌داری بیشتر از سایر ژنوتیپ‌ها بود، به طوری که تفاوت آن با ژنوتیپ MCC806 بیش از ۳۰٪ درصد بود. درصد رطوبت نسبی در همه ژنوتیپ‌ها کاهش یافت و در هفته سوم، این دو ژنوتیپ به ترتیب با کاهش ۱/۸ و ۳/۴ برابر نسبت به شاهد، کمترین و بیشترین تغییرات را نشان دادند. بنابراین در بین ژنوتیپ‌های مورد مطالعه ژنوتیپ MCC760 به عنوان متتحمل‌ترین ژنوتیپ به تنش شوری معرفی شد و زمان مناسب جهت ارزیابی تحمل به این صفت بر مبنای خصوصیات مورفولوژیک، هفته چهارم و بر مبنای صفات فیزیولوژیک، هفته سوم تعیین شد.

واژه‌های کلیدی: اندام هوایی، رنگدانه‌های فتوسنتزی، ریشه، شوری، محتوای آب نسبی، نخود

مقدمه

تنش شوری که در زمرة مهم‌ترین تنش‌های غیرزیستی قرار می‌گیرد. به دلیل پاره‌ای از عوامل، آثار سوئی بر رشد و نمو گیاهان دارد که می‌توان به تنش آبی (کاهش پتانسیل اسمزی خاک^۱، عدم تعادل یونی^۲، افزایش غلظت یون‌ها (شوری) و Ashraf & Harris, 2004; ترکیبی از این موارد اشاره کرد (Toker et al., 2007). بنابراین فرآیندهای گیاه را در برابر تنش شوری می‌توان به دو دسته فرآیندهای کاهش‌دهنده اثرات تنش اسمزی و فرآیندهای حفظ تعادل یونی سلول و

^{*}نوابنده مسئول: arefian.m@gmail.com

^۱ Low osmotic potential of soil solution

^۲ Nutrient ion imbalance

حذف اثرات سمتی یون‌ها تقسیم کرد (Yokoi et al., 2002).

با این حال، شوری علاوه بر تأخیر در جوانه‌زنی و اختلال در بافت‌ها و اندام‌های تولیدمثیلی، نکروزهشدن حاشیه برگ‌ها به ویژه برگ‌های پرتر و کاهش توانایی ثبیت نیتروژن (Toker et al., 2007; Jaiwal & Mehta, 1983) می‌تواند عملکرد و کیفیت محصول را حتی در ارقام متتحمل، کاهش دهد (Dhingra, 2007).

متوسط عملکرد نخود (Kg.ha^{-1}) حدوداً ۸۰۰ Millan et al. (۴۰۰ Kg.ha^{-1}) کمتر از توان بالقوه تولید آن (Singh, 1987; al., 2006) بوده و ضریب تغییرات^۳ آن پایدار نیست (بیش از ۱۰ درصد) که از مهم‌ترین عوامل آن می‌توان به

^۳ Coefficient of variation

گلدان‌های یک‌لیتری حاوی ماسه و خاک مزروعه (با نسبت ۲:۱، w/w) کشت و در دمای 25 ± 2 درجه سلسیوس، رطوبت نسبی ± 5 درصد تحت شرایط نوری 16 ساعت روشنایی (شدت نور $270 \mu\text{mol m}^{-2}\text{s}^{-2}$) در اتاقک رشد، نگهداری و یکروزدرمیان به صورت کاملاً یکسان آبیاری شدند. در هر گلدان، دو بوته رشد یافته‌نده که پس از گذشت دوهفته از کاشت، ارقام در سه سطح NaCl (صفرا، 8 و 12 dS.m^{-1}) تیمار شدند و در طول چهار هفته متوالی، نمونه‌برداری‌ها انجام شد. در این آزمایش تأثیر تنش شوری ناشی از کلریدسدیم به صورت آنی بر پارامترهای مورفو‌فیزیولوژیک پس از چهار تا چهار هفته متوالی (گیاهچه‌های دو تا شش هفت‌هه) به صورت آزمایش فاکتوریل در قالب طرح کاملاً تصادفی تیمارها با سه تکرار بررسی شد.

کلروفیل‌ها و کاروتونوئیدها با استفاده از استون sp-3000 plus OPTIMA مدل استخراج و توسط اسپکتروفوتومتر ZnO میزان کلروفیل گل در شرایط تنش به میزان کلروفیل گل در شرایط بدون تنش محاسبه گردید (Terzi & Kadioglu, 2006).

$$c_a (\mu\text{g/ml}) = 12.25 A_{663.2} - 2.79 A_{646.8}$$

$$c_b (\mu\text{g/ml}) = 21.50 A_{646.8} - 5.10 A_{663.2}$$

$$c_{(x+c)} (\mu\text{g/ml}) = (1000 A_{470} - 1.82 c_a - 85.02 c_b) / 198$$

درصد آب نسبی برگ (RWC) طبق معادله زیر به دست آمد که در آن FW وزن شر برگ، DW وزن خشک برگ (۴۸ ساعت در آن درجه سلسیوس) و TW وزن تورم برگ (۲۴ ساعت شناور در آب مقطر) است (de Silva *et al.*, 1996). $RWC(\%) = (FW - DW / TW - DW) \times 100$

به منظور تعیین معیاری جهت رشد گیاه، ارتفاع آن یعنی فاصله بین طوقه و رأس ساقه اصلی اندازه‌گیری شد. جهت اندازه‌گیری وزن خشک اندام‌های هوایی و ریشه‌ها، در هر نمونه‌برداری، چهار گیاه به طور جداگانه در آن درجه سلسیوس به مدت ۴۸ ساعت قرار گرفت و سپس با ترازوی دیجیتال توزین شد. جهت محاسبات آماری و رسم نمودارها در این مطالعه از نرم‌افزارهای SAS 6.12 و Excel 2013 استفاده شد. داده‌های درصدی به آرکسینوس و داده‌های نسبتی به روش جذری تبدیل شد. میانگین‌ها به روش دانکن مقایسه و سطح احتمال به کاررفته در کلیه تجزیه تحلیل‌ها درصد در نظر گرفته شد.

نتایج و بحث

یکی از اثرات بارز تنش شوری و خشکی بر گیاهان، کاهش ارتفاع و رشد اندام هوایی است که از دلایل اصلی آن

تنش‌های مختلف زیستی و غیرزیستی اشاره کرد که از لحاظ اقتصادی خسارت قابل توجهی را بدنبال دارد (Singh, 1993). شناسایی ارقامی که در شرایط شوری از رشد مناسبی برخوردار بوده و آستانه کاهش عملکرد آن‌ها بالا باشد، می‌تواند علاوه بر افزایش کلی تولید محصول، در زمینه‌سازی برای برنامه‌های بهزیادی و همچنین کمک به تبیین مکانیزم تحمل به شوری بسیار مؤثر باشد (Dhingra, 2007). اما تنوع ژنتیکی بین ارقام نخود کم است (Chauhan, 1987)، از سوی دیگر sp-3000 plus مدل OPTIMA مطالعات نشان داده است که گزینش ارقام مختلف نخود به شوری با موفقیت خوبی همراه بوده است (Vadez *et al.*, 2004; Maliroo *et al.*, 2007). از سوی دیگر می‌تواند برای گزینش ژنوتیپ‌های مناسب برای تنش شوری این ارزیابی مانند خشکی و شوری دستیابی به ژنوتیپ‌های متحمل می‌باشد. لذا بکارگیری معیارهای مناسب برای گزینش ژنوتیپ‌های متحمل به این تنش ضروری است (Ganjeali & Kafi, 2007).

علاوه بر این که بیش از ۱۰ درصد از زمین‌های کشور دچار شوری است (Szabolcs, 1989)، کمبودهای روزافزون آب مناسب برای آبیاری نیز از مهم‌ترین دلایل ایجاد و گسترش تنش شوری می‌باشد. با این حال، مطالعات اندکی در زمینه غربالگری ژنوتیپ‌های نخود در مقابل تنش شوری انجام شده است. مطالعه انجام شده در این زمینه مربوط به Kafi *et al.* (2011) می‌باشد. آنها در مطالعه خود که در شرایط کنترل شده به صورت هیدرопونیک انجام شده است، ژنوتیپ‌های مورد مطالعه را براساس عکس العمل آن‌ها به شوری به ژنوتیپ‌های حساس و متحمل تقسیم کردند. مطالعه حاضر با هدف ارزیابی دقیق تر ژنوتیپ‌های نخود کاندید حساس و متحمل به شوری قبلی، تحت شرایط کاملاً کنترل شده صورت گرفت تا با تعیین دقیق متحمل‌ترین و حساس‌ترین ژنوتیپ‌ها به غلظت‌های مختلف شوری بتوان با ارزیابی بیشتر ژنوتیپ‌ها در سطح بیوشیمیابی و تعیین مناسب‌ترین شرایط آزمایشی، از نتایج به دست آمده جهت مطالعات دقیق‌تر مولکولی چون پروتئومیکس استفاده نمود.

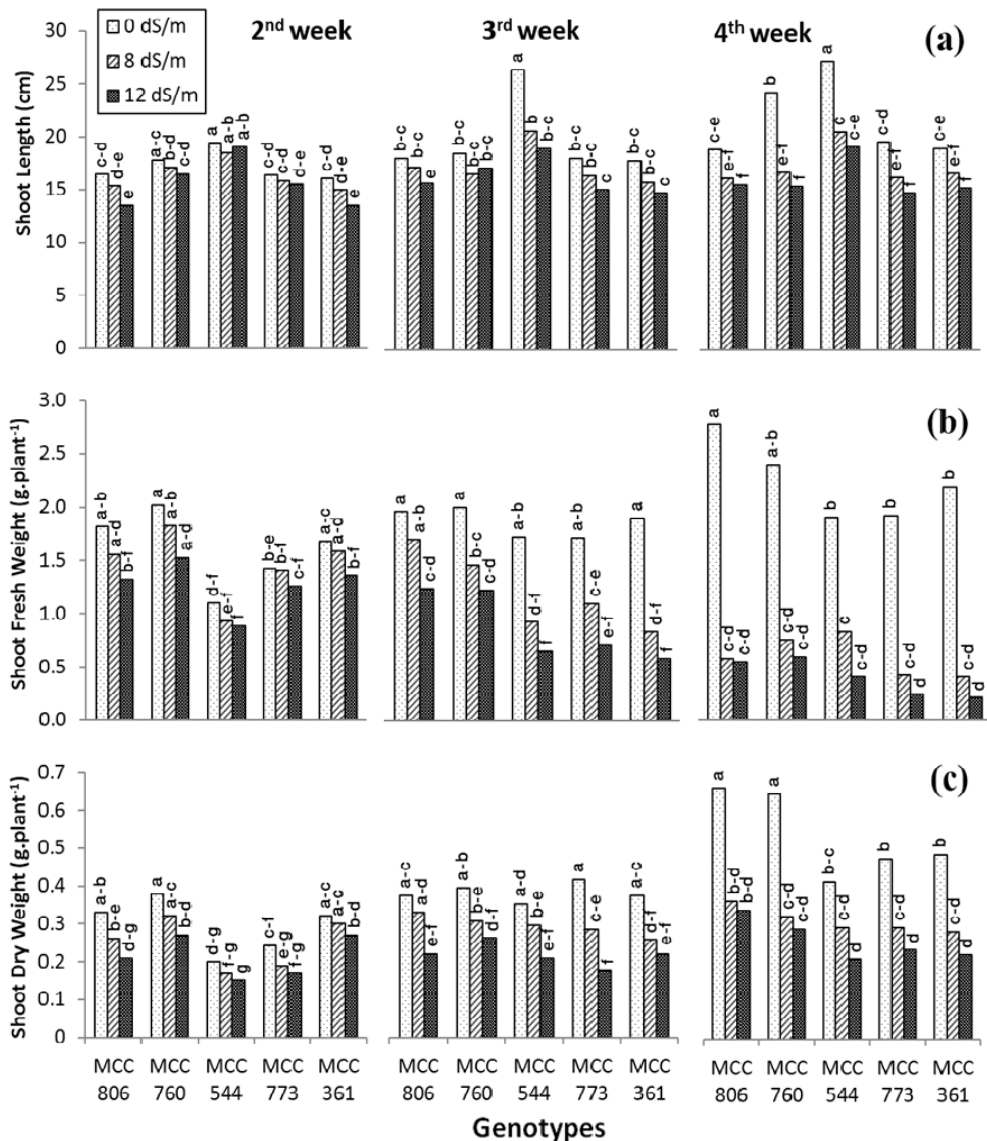
مواد و روش‌ها

بر اساس نتایج مطالعات شوری و خشکی انجام شده Saxena *et al.*, 2011; Ganjeali *et al.*, 2011; MCC544 (ژنوتیپ‌های MCC760, MCC806, MCC361 و MCC773) انتخاب و بذور آن‌ها از بانک بذر پژوهشکده علوم گیاهی دانشگاه فردوسی تهیه گردید. ابتدا بذور با هیپوکلریدسیدیم ۳ درصد و اتانول ۷۰ درصد ضد عفونی و در پتربی دیش به مدت ۲۴ ساعت جوانه‌دار شدند. سپس در

(*et al.*, 2006) در مطالعه حاضر نیز با افزایش شدت تنفس، ارتفاع گیاه در ژنوتیپ‌ها کاهش و با افزایش مدت زمان تنفس، شدت کاهش بیشتر شد (شکل‌های ۱ a-۵ و c).

می‌توان به کاهش ترشح هورمون‌های رشد و افزایش مواد بازدارنده رشد در شرایط تنفس اشاره کرد (Bayoumi *et al.*, 2010).

مشابه با دیگر تحقیقات انجام شده (Ahmed *et al.*, 1997; Gunes, 2002; Bayoumi *et al.*, 2010;



شکل ۱- مقایسه برخی پارامترهای مورفولوژیک خود تحت تنفس شوری NaCl در غلظت‌های صفر، ۸ و 12 dS.m^{-1} در هفته دوم، سوم و چهارم.
a: طول گیاهچه؛ b: وزن ترا اندام هوایی؛ c: وزن خشک اندام هوایی، ($p \leq 0.05$)

Fig. 1. Comparison of some morphological parameters of chickpea under NaCl salinity stress (0, 8 and 12 dS.m^{-1}) in 2nd, 3rd and 4th weeks after sowing. a: Shoot length; b: Shoot fresh weight; c: Shoot dry weight, ($p \leq 0.05$)

نشده است. در ژنوتیپ‌های MCC760 و MCC544 کاهش معنی‌داری در هفته چهارم نمونه‌گیری (۹/۲ و ۸/۱) سانتی‌متر کاهش) به ویژه در غلظت 12 dS.m^{-1} مشاهده نشد (به جز این که ذکر شده باشد)، داده‌های آن ارائه

از آن جا که نمونه‌گیری اول همزمان با اعمال تنفس بود و در ژنوتیپ‌های مختلف قبل از تنفس اختلاف معنی‌داری مشاهده نشد (به جز این که ذکر شده باشد)، داده‌های آن ارائه

از هفته دوم به بعد، در شرایط تنفس، رشد ریشه تقریباً در همه ژنوتیپ‌ها متوقف شد، اما بیشترین شدت کاهش نسبت به شاهد مربوط به ژنوتیپ MCC806 بود و کمترین مقدار کاهش در ژنوتیپ MCC760 مشاهده شد (شکل ۲-۲).

از آنجاکه یکی از پاسخ‌های ژنوتیپ‌های متحمل به تنفس، افزایش نسبت وزن خشک ریشه به وزن خشک اندام هوایی است (Kumaga *et al.*, Ganjeali & Kafi, 2007; 2003)، بنابراین با توجه به این پارامتر می‌توان ژنوتیپ MCC760 را متحمل‌ترین و ژنوتیپ MCC806 را حساس‌ترین ژنوتیپ به شوری در بین ارقام مورد مطالعه به شوری در نظر گرفت.

در هفته چهارم و در غلظت متوسط ($dS.m^{-1}$) اختلاف معنی‌داری بین غلظت‌های مختلف تنفس در ژنوتیپ MCC544 مشاهده نشد و این ژنوتیپ با $1/5$ برابر کاهش نسبت به شاهد در وزن خشک اندام هوایی، کمترین آسیب‌دیدگی را داشت. از سوی دیگر، میانگین وزن خشک ریشه آن با افزایش شدت تنفس، زیادتر نیز شد (شکل ۲-۲)، براین اساس، همانند ژنوتیپ MCC760. این ژنوتیپ نیز از تحمل بهتری به تنفس شوری برخوردار بود. در گیاهان دیگر مانند لوبیا و گندم کاهش وزن خشک اندام هوایی در اثر تنفس‌های شوری و خشکی گزارش شده است (Bayoumi *et al.*, 2010; Tawfik, 2008).

سیستم ریشه‌ای به‌دلیل تماس مستقیم با محلول خاک، به عنوان اولین حسگر تنفس آبی محسوب می‌شود، لذا در ایجاد مقاومت نسبت به تنفس شوری و خشکی نقش مهمی دارد (Okçu *et al.*, 2005). در بررسی وزن خشک ریشه‌ها مشخص شد که ژنوتیپ‌های MCC806 و MCC760 سیستم ریشه‌ای توسعه‌یافته‌تری داشته و وزن تر و وزن خشک آن‌ها به صورت معنی‌داری بیشتر از سایر موادر بود (شکل‌های ۲-۲، a، b و c).

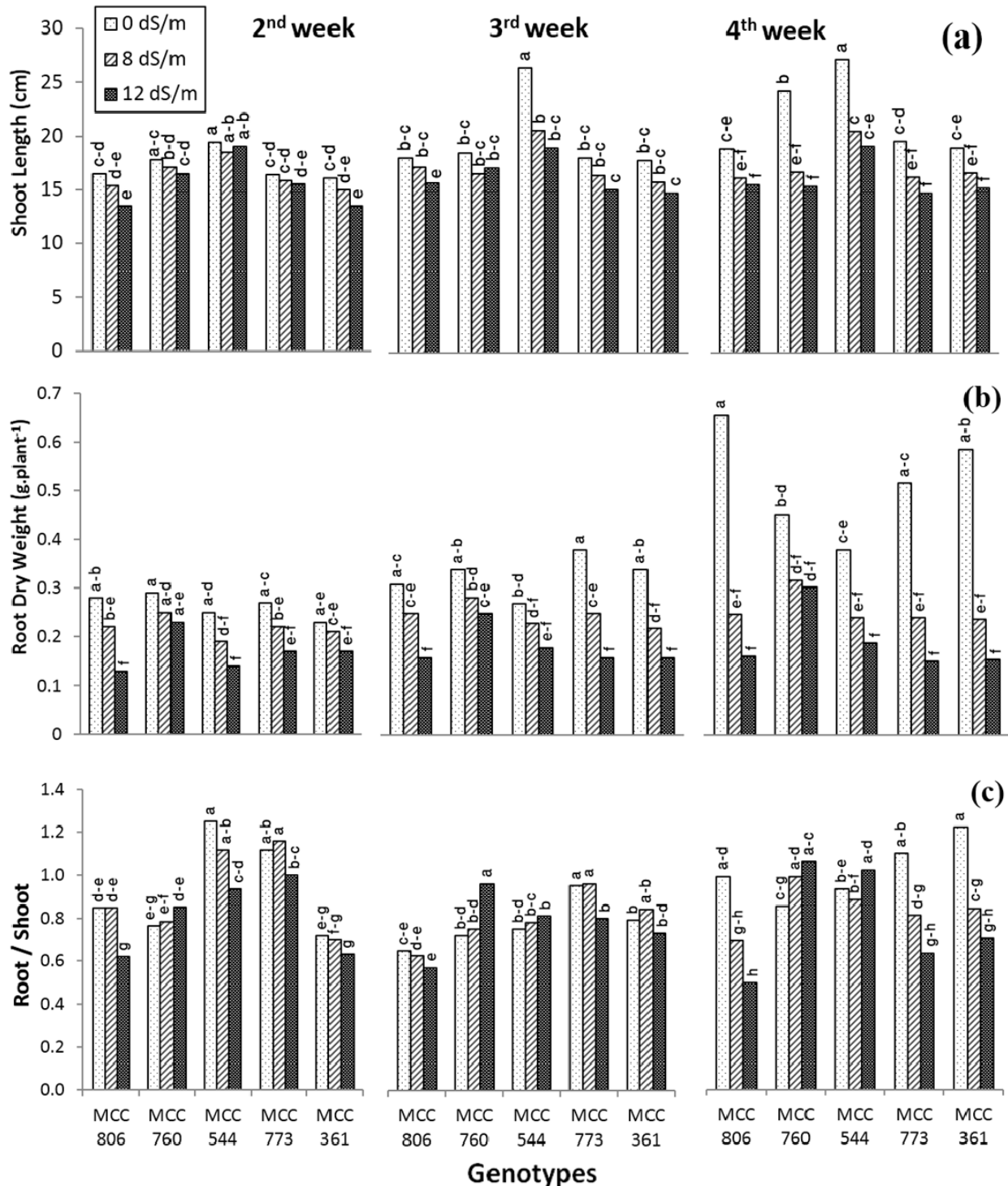
با افزایش زمان و غلظت نمک، به‌ویژه در هفته چهارم، کاهش معنی‌دار چهار برابر نسبت به شاهد در ژنوتیپ MCC806 مشاهده شد، اما ژنوتیپ MCC760 کمترین میزان کاهش وزن خشک ریشه نسبت به شاهد ($1/7$ برابر) را داشت و تفاوتی در غلظت‌های $dS.m^{-1}$ و $12 dS.m^{-1}$ داشد. مشاهده نشد که بنظر می‌رسد به حد آستانه خود رسیده باشد. از طرفی در مقایسه با دیگر ژنوتیپ‌ها، این حد آستانه بیشترین وزن تر و خشک ریشه را به خود اختصاص داده است.

ژنوتیپ MCC544 که یک ژنوتیپ بومی ایرانی است، از نظر سرعت جوانه‌زنی بهتر و از لحاظ رشد طولی ساقه اصلی، برتری معنی‌داری (با اختلاف $10\text{سانسنتی}\text{ متری}$ در هفته سوم) نسبت به دیگر ژنوتیپ‌ها داشت که تا حدی به عادت رشدی گیاه بازمی‌گردد.

این ژنوتیپ در چهار زمان نمونه‌گیری (هفته اول نشان داده نشده است) و در هر سه غلظت، بیشترین ارتفاع گیاه را به‌خود اختصاص داد، اما وزن تر و خشک آن به‌خصوص در هفته دوم نمونه‌گیری، کمتر از بقیه بود (شکل‌های ۱-۵ a-۵)؛ چراکه جوانه‌های جانی نداشت، اما با توسعه بافت‌های هوایی از قبل تولید شده، این کاهش وزن را در هفته‌های سوم و چهارم جبران کرد. ارتفاع بیشتر این ژنوتیپ و گنجایش بیشتر ساقه آن را می‌توان به عنوان منبع ثانویه ذخیره مواد فتوسنتزی و انتقال مجدد مواد فتوسنتزی به دانه‌ها در نظر گرفت که خود می‌تواند به عنوان یک راهکار در راستای مقاومت به تنفس مطرح باشد (Ganjeali & Kafi, 2007).

با افزایش شدت تنفس، وزن تر همه ژنوتیپ‌ها کاهش یافت و با افزایش مدت زمان تنفس، شدت کاهش وزن، بیشتر نیز شد، به‌طوری‌که در هفته سوم در ژنوتیپ‌های MCC361 و MCC544 و هفته چهارم در دیگر ژنوتیپ‌ها کاهش معنی‌داری در وزن تر اندام هوایی مشاهده شد. ژنوتیپ MCC806 اگرچه بیشترین وزن تر در هفته سوم را داشت، اما به‌همراه ژنوتیپ MCC361 بیشترین درصد (بیش از 5 برابر) افت وزن تر نسبت به شاهد را در هفته چهارم به خود اختصاص داد که حساسیت این ژنوتیپ نسبت به شوری را نشان می‌دهد. در هفته چهارم و در غلظت $12 dS.m^{-1}$ از MCC760 و MCC544 در نظر وزن تر، ژنوتیپ‌های MCC361 و MCC806 کمترین درصد افت (به ترتیب 2 و 3 برابر) و بیشترین میانگین این پارامتر را نسبت به دیگر ژنوتیپ‌ها داشتند که بیانگر جذب آب بیشتر و سازگاری بهتر با تنفس بود.

اگرچه با افزایش سن، وزن تر خشک گیاه‌چهای تحت تنفس کاهش یافت، اما بر وزن خشک آن‌ها افزوده شد (شکل ۱-۱ و c). با این‌که ژنوتیپ MCC760 افت شدیدی (تقریباً 2 برابر) در وزن خشک هفته چهارم داشت، اما با بررسی وزن خشک ریشه (شکل‌های ۲-۲ و ۲-۵) مشخص می‌شود با افزایش نسبت وزن خشک ریشه به وزن خشک ساقه، مکانیزم مقاومت این ژنوتیپ نسبت به تنفس شوری همچنان ادامه دارد. این روند به‌ویژه در هفته سوم و چهارم و در غلظت‌های بالاتر برای این ژنوتیپ بیشتر مشاهده می‌شود.



شکل ۲- برخی تغییرات پارامترهای مورفولوژیک ریشه نخود تحت تنفس شوری NaCl در سطوح صفر، ۸ و ۱۲ dS.m^{-1} طی سه هفته متوالی.
a: وزن تر ریشه؛ b: وزن خشک ریشه؛ c: نسبت وزن خشک ریشه به نسبت وزن خشک اندام هوایی، ($p \leq 0.05$)

Fig. 2. Some changes in morphological parameters of chickpea roots under NaCl salinity (0, 8 and 12 dS.m^{-1}) during three consecutive weeks. a: Root fresh weight; b: Root dry weight; c: Root dry weight to shoot dry weight ratio, ($p \leq 0.05$)

آب بیشتر است (Ganjeali & Kafi, 2007)، ژنوتیپ MCC760 تحمل بیشتری نسبت به سایر ژنوتیپ‌ها به ویژه MCC806 در برابر تنفس شوری دارد.

از آن جا که یکی از پاسخ‌های گیاهان متحمل به تنفس شوری و خشکی، افزایش رشد ریشه جهت ذخیره ماده خشک و یا انتقال از اندام هوایی به ریشه (Bibi et al., 2009) و جذب

جدول ۱- تغییرات میزان کلروفیل a، b و کارتنوئید (mg/gFW) تحت تنفس شوری (صفر، ۸ و ۱۲ dS.m^{-۱}) در هفت‌های دوم و سوم پس از تنفس

Table 1. Changes of chlorophyll a, b and carotenoid (mg/gFW) under salinity (0, 8 and 12 dS.m^{-۱}) during two weeks

ژنوتیپ‌ها Genotypes	نوع کلروفیل Chlorophyll type	شدت‌های تنفس شوری در هفته دوم Levels of salinity in 2 nd week			شدت‌های تنفس شوری در هفته سوم Levels of salinity in 3 rd week		
		۰ dS/m	8 dS/m	12 dS/m	۰ dS/m	8 dS/m	12 dS/m
		Chlorophyll a	26.58±0.4	24.21±1.2	18.39±0.5	23.63±0.8	16.56±0.7
MCC 806	Chlorophyll b	09.74±0.3	08.62±0.4	07.66±0.2	09.27±0.0	06.59±0.3	03.72±0.2
	Carotenoid	05.11±0.7	04.86±0.2	05.31±0.3	04.94±0.3	04.45±0.5	03.61±0.4
	Chlorophyll a	24.75±1.3	23.14±0.8	19.78±1.1	20.23±0.2	14.28±1.5	15.37±1.7
MCC 760	Chlorophyll b	09.28±0.4	09.48±0.4	08.84±0.4	08.04±0.9	05.44±0.4	05.93±0.6
	Carotenoid	05.60±0.4	05.56±0.3	05.24±0.4	04.60±0.3	04.11±0.5	04.11±0.5
	Chlorophyll a	27.39±1.2	22.34±1.1	20.08±1.1	26.43±1.5	18.26±1.1	10.61±0.7
MCC 544	Chlorophyll b	09.47±0.4	08.79±0.4	08.04±0.4	09.74±0.4	07.78±0.2	04.79±0.5
	Carotenoid	05.83±0.3	04.72±0.1	05.36±0.2	05.35±0.5	04.62±0.3	03.19±0.2
	Chlorophyll a	25.35±0.5	23.24±0.6	19.27±1.0	19.13±1.7	13.78±0.6	10.13±0.5
MCC 733	Chlorophyll b	09.37±0.5	08.69±0.3	07.77±0.3	07.35±0.7	05.37±0.3	04.93±0.3
	Carotenoid	05.42±0.3	04.91±0.3	05.10±0.1	04.47±0.5	03.91±0.3	03.02±0.2
	Chlorophyll a	24.66±0.6	21.20±0.4	18.59±0.5	23.49±1.1	15.87±0.6	11.49±0.8
MCC 361	Chlorophyll b	09.39±0.4	08.66±0.2	07.64±0.4	09.13±0.2	06.54±0.5	05.44±0.7
	Carotenoid	04.78±0.4	04.52±0.2	04.93±0.4	05.02±0.3	04.11±0.2	03.34±0.3

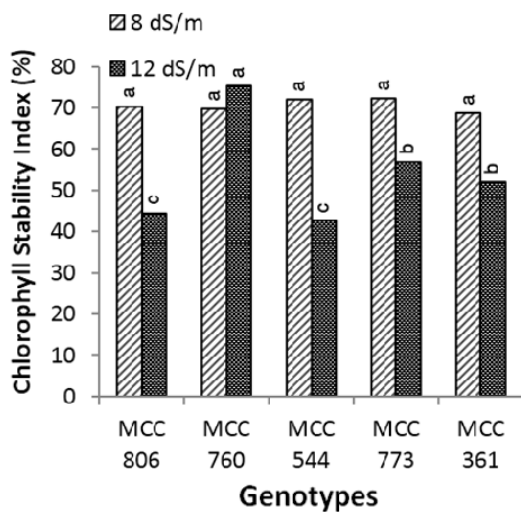
ژنوتیپ‌های MCC544 و MCC760 بر خلاف سه ژنوتیپ دیگر، در هفته‌های سوم و چهارم نه تنها نسبت وزن خشک ریشه به وزن خشک ساقه آن‌ها کاهش نیافت (شکل ۲)، بلکه با افزایش شدت تنفس، بیشتر نیز شد. در گیاهان متحمل به تنفس شوری و خشکی، کاهش رشد بخش ساقه‌ای و در مواردی افزایش رشد ریشه‌ای مشاهده شده است (Mensah et al., 2009 ; Kalefetoglu Macar et al., 2009). نتایج حاصل از این تحقیق نیز افزایش نسبت وزن خشک ریشه به وزن خشک ساقه آن‌ها کاهش نیافت (Kafi et al., 2011).

(Data are mean ± s.e.).

داده‌ها شامل میانگین ± خطای معیار.

افزایش غلظت کلریدسدیم باعث کاهش میزان کلروفیل‌های a و b در ژنوتیپ‌های نخود شد و با افزایش مدت زمان، شدت کاهش نیز زیادتر شد (جدول ۱). ژنوتیپ MCC760 در هفته سوم دارای بیشترین مقادیر کلروفیل‌های a و b در بالاترین سطح تنفس بوده و برخلاف دیگر ژنوتیپ‌ها با افزایش شدت تنفس از ۸ dS.m^{-۱} به ۱۲ dS.m^{-۱} نه تنها میانگین آن کاهش نیافت، بلکه افزایش نیز داشت و دارای بیشترین میانگین کلروفیل کل بود. علاوه بر این، این

مقدار کلروفیل و رنگدانه‌های فتوسنترزی از مهم‌ترین عوامل مؤثر در ظرفیت فتوسنترزی گیاهان هستند، چراکه به طور مستقیم بر سرعت و میزان فتوسنترز و تولید زیست‌توده مؤثر هستند (Kafi et al., 2011). تأثیر تنفس شوری و خشکی بر میزان کلروفیل‌ها وابسته به شدت و مدت تنفس و نوع گونه گیاهی می‌باشد (Guerfel et al., 2009). منطبق با دیگر گزارش‌های ارائه شده (Mudgal et al., 1999; Soussi et al., 2009)، در آزمایش حاضر نیز



شکل ۳- اثر شوری (NaCl) بر درصد ضریب پایداری کلروفیل ژنوتیپ‌های نخود در هفته سوم، ($p \leq 0.05$)

Fig. 3. Impact of salinity (NaCl) on chlorophyll stability Index (%) of chickpea genotypes in 3rd week, ($p \leq 0.05$)

حفظ آب برگ و کاهش تبخیر و تعرق، یک مکانیسم مهم اجتناب از تنفس شوری است و محتوای آب نسبی برگ به عنوان نشانگر جهت تعیین میزان تحمل ژنوتیپ‌های گیاهی نسبت به تنفس شوری و خشکی معرفی شده است (Terzi & Kadioglu, 2006). در این آزمایش در همه مراحل نمونه‌گیری، میزان آب نسبی برگ تمام ژنوتیپ‌ها در اثر تنفس شوری کاهش داشت و این روند به مرور زمان بیشتر نیز شد و نهایتاً در هفته چهارم تا حد آستانه کاهش یافت، به طوری که با افزایش غلظت، کاهش معنی‌داری مشاهده نشد. در غلظت 12 dS.m^{-1} کمترین و بیشترین میزان کاهش نسبت به شاهد در هفته دوم به ترتیب مربوط به ژنوتیپ‌های MCC544 (۱/۱۸ برابر کاهش) و MCC806 (۱/۹۲ برابر کاهش) بود. در هفته سوم و چهارم ژنوتیپ‌های MCC760 (۱/۸۵ و ۱/۳ برابر) و MCC806 (۳/۴۱ و ۴/۶ برابر) به ترتیب کمترین و بیشترین میزان کاهش نسبت به شاهد را داشتند. بنابراین ژنوتیپ‌های MCC760 و MCC544 (برخلاف ژنوتیپ MCC806) به دنبال توانایی بیشتر در حفظ آب تحت شرایط شوری، بیشترین تحمل را به تنفس داشتند (شکل‌های ۴ و ۵).

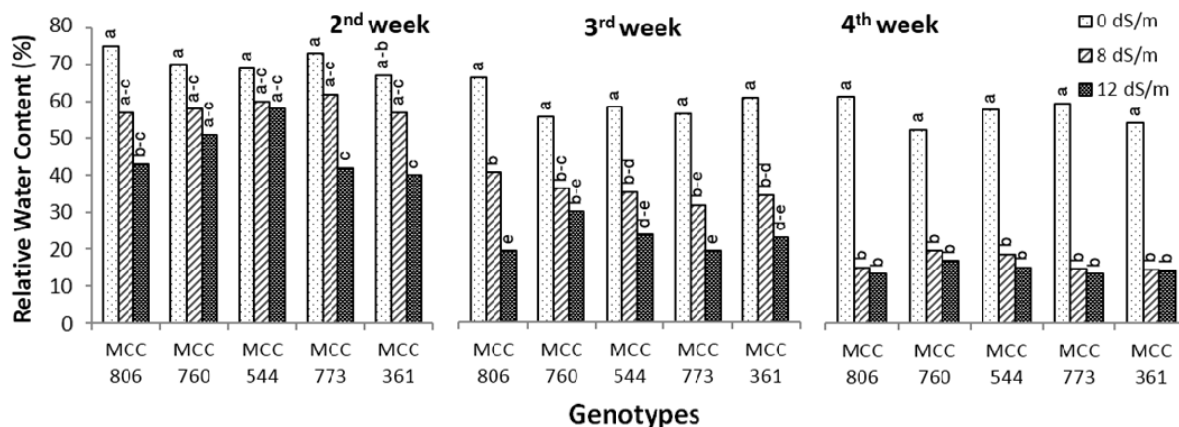
تفاوت ژنوتیپ‌ها از نظر میزان نسبی آب برگ به تفاوت آنها در میزان جذب آب از خاک و نیز توانایی آنها در افزایش کارآیی سیستم ریشه‌ای و قدرت کنترل هدرروی آب از طریق روزنه‌ها و تبخیر سطحی یا تعرق کمتر مربوط می‌شود (Farooq *et al.*, 2009; Beck *et al.*, 2007).

ژنوتیپ بیشترین ضریب پایداری کلروفیل (CSI) را به خود اختصاص داد (شکل ۳).

ژنوتیپ MCC544 در شدت متوسط تنفس 8 dS.m^{-1} (۸) و هفته سوم، دارای بیشترین میزان کلروفیل‌های a و b بود (۷۵ و ۶۰٪ a و b) (شکل ۳)، اما در شدت تنفس بالاتر یک گرم بافت تر برگ، اما در شدت تنفس بالاتر 12 dS.m^{-1} (۱۲) افت شدیدی در رنگدانه‌های این ژنوتیپ مشاهده شد، به طوری که در غلظت 12 dS.m^{-1} ۱۲ بهمراه ژنوتیپ MCC806 بیشترین آسیب در رنگدانه‌ها را داشتند (۱۵/۴ میلی گرم کلروفیل کل در یک گرم بافت تر برگ و ضریب پایداری کلروفیل ۴۲ درصد و ۴۴ درصد به ترتیب برای ژنوتیپ‌های MCC806 و MCC544؛ شکل ۳). از آنجا که کاهش میزان کلروفیل گیاهچه‌های تحت تنفس، با پیری برگ در ارتباط است (Guerfel *et al.*, 2008؛ Lage-Pinto *et al.*, 2009)، یکی از دلایل احتمالی کاهش شدید رنگدانه‌های فتوسنتری این ژنوتیپ را می‌توان به عادت رشدی آن نسبت داد، چراکه از یک سو وزن خشک و زیست‌توءه کمتری داشت و از سوی دیگر، شاخه‌های جانبی و درنتیجه برگ‌های جوان تولید نکرد و درنتیجه ضریب پایداری این ژنوتیپ به طور معنی‌داری کاهش یافت. ژنوتیپ MCC806 علاوه بر کاهش شدید در ضریب پایداری کلروفیل، دارای کمترین کلروفیل b در هفته سوم بود و در شدت تنفس بالا (12 dS.m^{-1}) اختلاف معنی‌داری با ژنوتیپ MCC760 داشت.

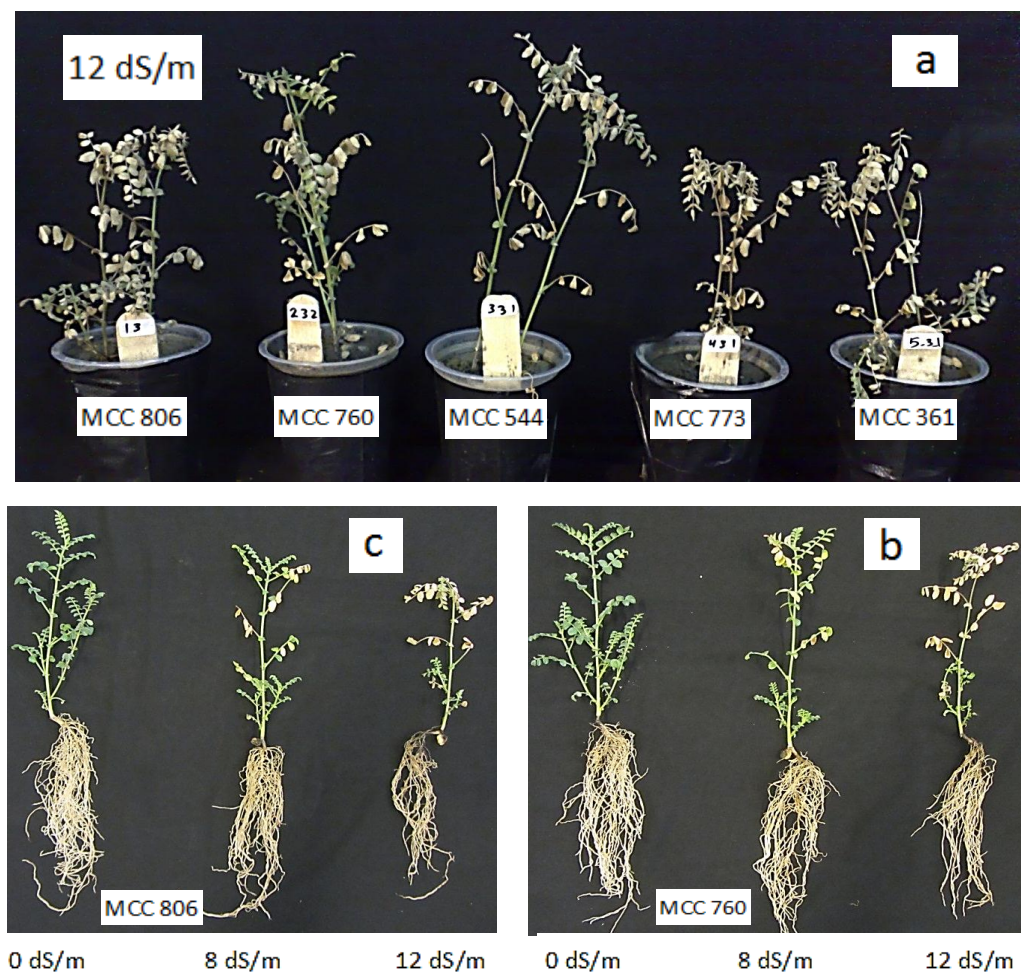
کاروتونوئیدها یکی از رنگریزه‌های کلیدی و مهم سیستم آنتی‌اکسیدانی در گیاهان می‌باشند که گروه بزرگی از مولکول‌های ایزوپرپرنوئید را تشکیل می‌دهند و به تخربی اکسیدانتیو نیز حساس می‌باشند (Simkin *et al.*, 2008). در مطالعه حاضر، با افزایش شدت تنفس، میزان کاروتونوئید نیز کاهش یافت (جدول ۱). کمترین کاهش، مربوط به ژنوتیپ MCC760 بود، به طوری که در سطوح تنفس متوسط 12 dS.m^{-1} (۸) و بالا (12 dS.m^{-1}) تغییری در میانگین آن مشاهده نشد. بنابراین ممکن است این ژنوتیپ توانایی بیشتری در کاهش تنفس اکسیدانتیو ایجاد شده در اثر شوری Prochazkova *et al.*, 2001 و لذا موجب تحمل بیشتر آن نسبت به سایر ژنوتیپ‌ها شده است.

کاهش میزان کلروفیل کل و کاروتونوئید نخود در اثر تنفس شوری در مطالعات دیگران نیز (Mudgal *et al.*, 1999؛ Soussi *et al.*, 2009) تأیید شده است.



شکل ۴- تأثیر سه غلظت NaCl (صفر، ۸ و 12 dS.m^{-1}) بر درصد تغییرات مقدار آب نسبی در ژنوتیپ‌های نخود در طول سه هفته متوالی، ($p \leq 0.05$)

Fig. 4. Effects of NaCl levels ($0, 8, 12 \text{ dS.m}^{-1}$) on relative water content in chickpea genotypes during three consecutive weeks, ($p \leq 0.05$)



شکل ۵- تأثیر کلریدسدیم بر ویژگی‌های مورفولوژیکی و رشد و نمو ژنوتیپ‌های نخود. (a) اثر غلظت شوری 12 dS.m^{-1} بر پنج ژنوتیپ نخود در هفته چهارم. اثر غلظت‌های مختلف NaCl بر ژنوتیپ MCC760 (b) و ژنوتیپ MCC806 (c) در هفته دوم

Fig. 5. NaCl impact on morphology and growth of chickpea genotypes. (a) Effect of 12 dS.m^{-1} salinity level on five genotypes of chickpea in 4th week. Effect of NaCl salinity levels on MCC760 (b) and MCC806 (c) in 2nd week

مشابه با نتایج آزمایش حاضر، در مطالعات دیگر که روی گندم، سویا و ذرت انجام شده است، ژنوتیپ‌های MCC544 و MCC760 علاوه بر توانایی بیشتر در جذب و حفظ آب، متabolیت‌های تولیدی و ذخیره‌ای بیشتری داشته و احتمالاً از سازگاری اسمنزی بالاتر و تحمل بیشتری نسبت به شوری (Bayoumi *et al.*, 2010) برخوردار بودند. از سوی دیگر ژنوتیپ MCC806 به دلیل بیشترین آسیب، حساس‌تر از چهار ژنوتیپ دیگر ارزیابی شد. از سوی Mehrjerdi *et al.*, Kafi *et al.*, (2011) و (2011) در محیط هیدروپونیک و با حذف اثر خاک انجام گرفته است، اما با نتایج به دست آمده از این آزمایش تا حدودی مطابقت دارد.

مشابه با نتایج آزمایش حاضر، در مطالعات دیگر که روی نسبی آب برگ بالاتری داشتند (Bayoumi *et al.*, 2010; Figueiredo *et al.*, 2001; Galle *et al.*, 2002; Moussa & Abdel-Aziz, 2008; Sairam *et al.*, 2005)

به طور کلی، نتایج مبین آن بود که ارزیابی تحمل به تنش شوری بر اساس خصوصیات فیزیولوژیک در هفته سوم و بر مبنای ویژگی‌های مورفو‌لولوژیک در هفته چهارم مناسب‌تر می‌باشد، اما جهت تشخیص دقیق‌تر، بررسی نشانگرهای بیوشیمیایی به ویژه در گیاه‌چهه‌های دو یا سه هفتگی ضروری به نظر می‌رسد، چراکه طبق گزارش‌های مختلف، نخود در مرحله گله‌ی حلقه‌ی حساسیت بیشتری داشته و اختلافات بین Ganjeali & Kafi, ژنوتیپ‌ها بیشتر نمایان خواهد شد (

منابع

- Ahmed, S., Nawata, E., Hosokawa, M., Domae, Y., and Sakuratani, T. 2002. Alterations in photosynthesis and some antioxidant enzymatic activities of mungbean subjected to waterlogging. Plant Science 163: 117-123.
- Ashraf, M., and Harris, P. 2004. Potential biochemical indicators of salinity tolerance in plants. Plant Science 166: 3-16.
- Bayoumi, T., Eid, M.H., and Metwali, E. 2010. Application of physiological and biochemical indices as a screening technique for drought tolerance in wheat genotypes. African Journal of Biotechnology 7: 2341-2352.
- Beck, E.H., Fettig, S., Knake, C., Hartig, K., and Bhattacharai, T. 2007. Specific and unspecific responses of plants to cold and drought stress. Journal of Biosciences 32: 501-510.
- Bibi, N., Hameed, A., Ali, H., Iqbal, N., Haq, M., Atta, B., Shah, T., and Alam, S. 2009. Water stress induced variations in protein profiles of germinating cotyledons from seedlings of chickpea genotypes. Pakistan Journal of Botany 41: 731-736.
- Bray, E.A. 1997. Plant responses to water deficit. Trends in Plant Science 2: 48-54.
- Chauhan, Y. 1987. Screening for tolerance to salinity and waterlogging: case studies with pigeonpea and chickpea. In: Consultants' Workshop: Adaptation of Chickpea and Pigeonpea to Abiotic Stresses, 19-21 Dec 1984, ICRISAT, India.
- de Silva, M., Purcell, L.C., and King, C.A. 1996. Soybean petiole ureide response to water deficits and decreased transpiration. Crop Science 36: 611-616.
- Dhingra, H.R. 2007. Salinity mediated changes in yield and nutritive value of chickpea (*Cicer arietinum* L.) seeds. Indian Journal of Plant Physiology 12: 271-275.
- Farooq, M., Wahid, A., Kobayashi, N., Fujita, D., and Basra, S. 2009. Plant drought stress: effects, mechanisms and management. Sustainable Agriculture 29(1): 153-188.
- Figueiredo, M.V.B., Bezerra-Neto, E., and Burity, H.A. 2001. Water stress response on the enzymatic activity in cowpea nodules. Brazilian Journal of Microbiology 32: 195-200.
- Galle, A., Csiszár, J., Tari, I., and Erdei, L. 2002. Changes in water and chlorophyll fluorescence parameters under osmotic stress in wheat cultivars. Acta Biologica Szegediensis 46: 85-86.
- Ganjeali, A., and Kafi, M. 2007. Genotypic differences for allometric relationships between root and shoot characteristics in chickpea (*Cicer arietinum* L.). Pakistan Journal of Botany 39: 1523-1531.
- Ganjeali, A., Porsa, H., and Bagheri, A. 2011. Assessment of Iranian chickpea (*Cicer arietinum* L.) germplasms for drought tolerance. Agricultural Water Management 98: 1477-1484.
- Guerfel, M., Baccouri, O., Boujnah, D., Chaïbi, W., and Zarrouk, M. 2009. Impacts of water stress on gas exchange, water relations, chlorophyll content and leaf structure in the two main Tunisian olive (*Olea europaea* L.) cultivars. Scientia Horticulturae 119: 257-263.

16. Gunes, A., Cicek, N., Inal, A., Alpaslan, M., Eraslan, F., Guneri, E., and Guzelordu, T. 2006. Genotypic response of chickpea (*Cicer arietinum* L.) cultivars to drought stress implemented at pre-and post-anthesis stages and its relations with nutrient uptake and efficiency. *Plant Soil and Environment* 52: 368-376.
17. Kafi, M., Bagheri, A., Nabati, J., Zare Mehrjerdi, M., and Masomi, A. 2011. Effect of salinity on some physiological variables of 11 chickpea genotypes under hydroponic conditions. *Journal of Science and Technology of Greenhouse Culture-Isfahan University of Technology* 1: 55-70.
18. Kalefetoglu Macar, T., Turan, O., and Ekmekci, Y. 2009. Effect of water deficit induced by PEG and NaCl on chickpea (*Cicer arietinum* L.) cultivar and lines at early seedling stage. *Gazi University Journal of Science* 22: 5-14.
19. Kumaga, F., Adiku, S., and Ofori, K. 2003. Effect of post-flowering water stress on dry matter and yield of three tropical grain legumes. *International Journal of Agriculture and Biology* 4: 405-407.
20. Lage-Pinto, F., Oliveira, J.G., Da Cunha, M., Souza, C.M.M., Rezende, C.E., Azevedo, R.A., and Vitoria, A.P. 2008. Chlorophyll *a* fluorescence and ultrastructural changes in chloroplast of water hyacinth as indicators of environmental stress. *Environmental and Experimental Botany* 64: 307-313.
21. Lichtenthaler, H.K., and Buschmann, C. 2001. Chlorophylls and carotenoids: Measurement and characterization by UV-VIS spectroscopy. *Current Protocols in Food Analytical Chemistry*. pp. F4.3.1-F4.3.8). New York John Wiley and Sons.
22. Maliro, M.F.A., McNeil, D., Kollmorgen, J., Pittock, C., and Redden, R. 2004. Screening chickpea (*Cicer arietinum* L.) and wild relatives germplasm from diverse country sources for salt tolerance. The 4th International Crop Science Congress, Brisbane, Queensland, Australia.
23. Mehrjerdi, M.Z., Nabati, J., Masomi, A., Bagheri, A., and Kafi, M. 2011. Evaluation of tolerance to salinity based on root and shoot growth of 11 drought tolerant and sensitive chickpea genotypes at hydroponics conditions. *Iranian Journal of Pulses Research* 2: 83-96.
24. Mensah, J., Obadoni, B., Eruotor, P., and Onome-Irieguna, F. 2009. Simulated flooding and drought effects on germination, growth, and yield parameters of sesame (*Sesamum indicum* L.). *African Journal of Biotechnology* 5: 1249-1253.
25. Millan, T., Clarke, H.J., Siddique, K.H.M., Buhariwalla, H.K., Gaur, P.M., Kumar, J., Gil, J., Kahl, G., and Winter, P. 2006. Chickpea molecular breeding: New tools and concepts. *Euphytica* 147: 81-103.
26. Moussa, H.R., and Abdel-Aziz, S.M. 2008. Comparative response of drought tolerant and drought sensitive maize genotypes to water stress. *Australian Journal of Crop Science* 1: 31-36.
27. Mudgal, V., Madaan, N., Mudgal, A., and Mishra, S. 2009. Changes in growth and metabolic profile of chickpea under salt stress. *Journal of Applied Biosciences* 23: 1436-1446.
28. Munns, R., and Tester, M. 2008. Mechanisms of salinity tolerance. *Annu Rev Plant Biol* 59: 651-681.
29. Okcu, G., Kaya, M.D., and Atak, M. 2005. Effects of salt and drought stresses on germination and seedling growth of pea (*Pisum sativum* L.). *Turkish Journal of Agriculture and Forestry* 29: 237-242.
30. Prochazkova, D., Sairam, R., Srivastava, G., and Singh, D. 2001. Oxidative stress and antioxidant activity as the basis of senescence in maize leaves. *Plant Science* 161: 765-771.
31. Sairam, R., Srivastava, G., Agarwal, S., and Meena, R. 2005. Differences in antioxidant activity in response to salinity stress in tolerant and susceptible wheat genotypes. *Biologia Plantarum* 49: 85-91.
32. Saxena, N.P., Krishnamurthy, L., and Johansen, C. 1993. Registration of a drought-resistant chickpea germplasm. *Crop Science* 33: 1424-1424.
33. Simkin, A.J., Moreau, H., Kuntz, M., Pagny, G., Lin, C., Tanksley, S., and McCarthy, J. 2008. An investigation of carotenoid biosynthesis in *Coffea canephora* and *Coffea arabica*. *Journal of Plant Physiology* 165: 1087-1106.
34. Singh, K. 1987. Chickpea Breeding, In: M.C. Saxena and K.B Singh (Eds). *The Chickpea*. CAB International, Wallingford, UK. p. 127-162.
35. Singh, K. 1993. Chickpea (*Cicer arietinum* L.). *Field Crops Research* 53: 161-170.
36. Soussi, M., Lluch, C., Ocana, A., and Norero, A. 1999. Comparative study of nitrogen fixation and carbon metabolism in two chickpea (*Cicer arietinum* L.) cultivars under salt stress. *Journal of Experimental Botany* 50: 1701-1708.
37. Szabolcs, I. 1989. Salt-affected Soils. CRC Press (Boca Raton, Fla.). p. 274.
38. Tawfik, K. 2008. Effect of water stress in addition to potassium application on mungbean. *Australian Journal of Basic and Applied Sciences* 2: 42-52.
39. Terzi, R., and Kadioglu, A. 2006. Drought stress tolerance and the antioxidant enzyme system. *Acta Biologica Cracoviensia Series Botanica* 48: 89-96.

40. Toker, C., Lluch, C., Tejera, N.A., Serraj, R., and Siddique, K.H.M. 2007. Abiotic stresses. In: S.S. Yadav, R. Redden, W. Chen, and B. Sharma (Eds.). *Chickpea Breeding and Management* pp. 474-496. CABI, Wallingford, UK.
41. Vadez, V., Krishnamurthy, L., Serraj, R., Gaur, P., Upadhyaya, H., Hoisington, D., Varshney, R., Turner, N., and Siddique, K. 2007. Large variation in salinity tolerance in chickpea is explained by differences in sensitivity at the reproductive stage. *Field Crops Research* 104: 123-129.
42. Yokoi, S., Bressan, R.A., and Hasegawa, P.M. 2002. Salt stress tolerance of plants. JIRCAS Working Report 23: 25-33.

Trend of changes for morpho-physiological characteristics of chickpea (*Cicer arietinum* L.) under salinity stress (NaCl) condition

Arefian^{1*}, M., Vessal², S., Bagheri³, A. and Ganjeali⁴, A.

1. MSc. Department of Biotechnology, College of Agriculture, Ferdowsi University of Mashhad, Iran
2. Contribution from Research Center for Plant Sciences, Ferdowsi University of Mashhad, Iran
3. Department of Biotechnology, College of Agriculture, & Research Center for Plant Sciences, Ferdowsi University of Mashhad, Iran
4. Department of Biology, College of Sciences, & Research Center for Plant Sciences, Ferdowsi University of Mashhad, Iran

Received: 29 December 2012

Accepted: 23 August 2013

Abstract

Salinity is one of the most important widespread abiotic stresses which causes toxic and nutritional effects as well as loss of water absorption ability by plants. Plants respond to salinity with morphological changes. Due to high susceptibility of chickpea to salt stress, some physiological and morphological responses occur following the stress in this plant. Thus, different concentrations of salt stress (0, 8, 12 dS.m⁻¹) impacts on morphophysiological characteristics were studied in candidate chickpea genotypes; a factorial experiment in a completely randomized design was performed with three replications and four sampling times of one week interval. The results indicated that the most tolerant and susceptible genotype to salinity were MCC760 and MCC806, respectively. By increasing the concentration of sodium chloride at week 4, root dry weight to shoot dry weight ratio increased 0.8 and 2 folds in these genotypes but root dry weight decreased 1.7 and 4 folds. At high stress level (12 dS.m⁻¹), MCC760 genotype had not only the more photosynthetic pigments (including chlorophyll a, b and carotenoids) but also the rate was less in which its chlorophyll stability index (75%) was significantly higher than the others, indicating more than 30% significant differences compared with MCC806. The third week determined as more appropriate time to compare the physiological parameters in which MCC760 and MCC806 genotypes with 1.8 and 3.4 folds had significant difference and lowest relative water content. Overall, the data showed that MCC760 was the most tolerant genotype in response to salinity in this study and also the appropriate time for tolerant assessment were 4th and 3rd weeks after sowing based on Morphological and physiological parameters, respectively.

Key words: Chickpea, Pigments, Relative water content, Root, Salinity, Shoot

*Corresponding Author: arefian.m@gmail.com